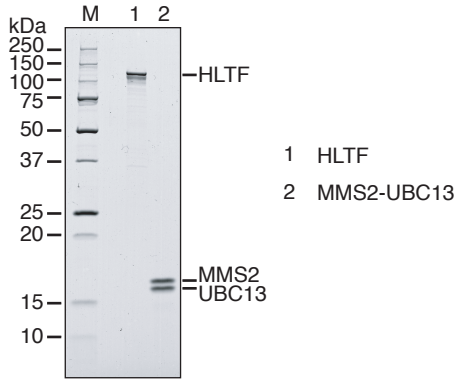
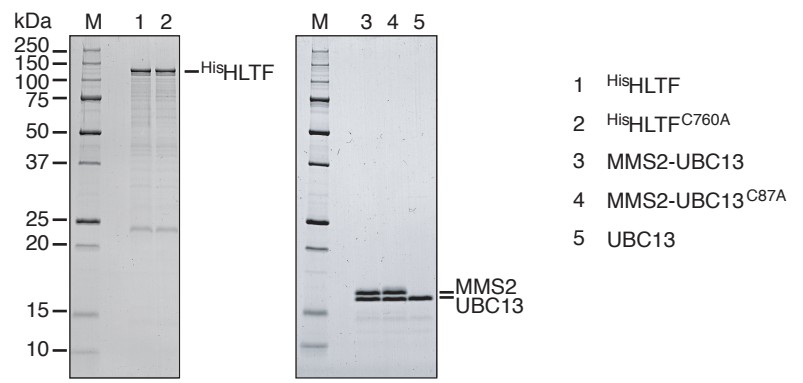


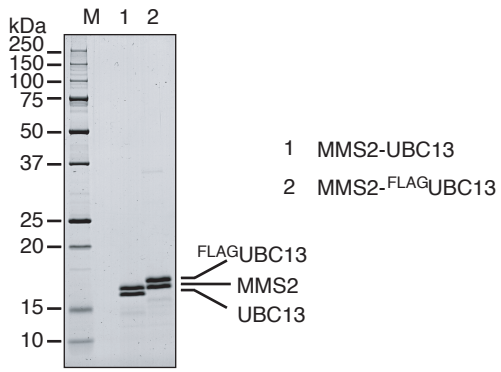
A



B



C



D

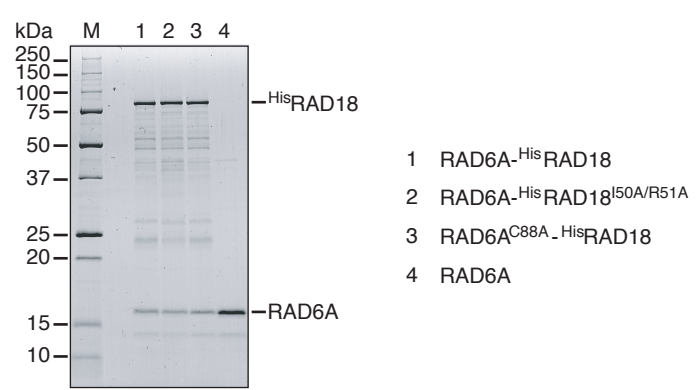


Fig. S1. Masuda et. al.

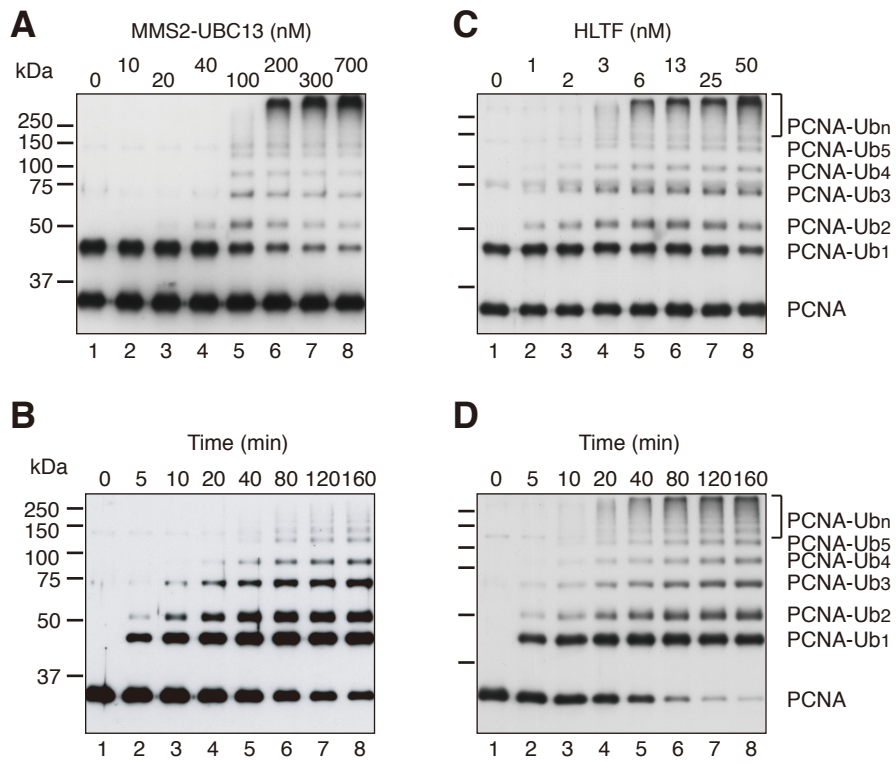


Fig. S2. Masuda et. al.

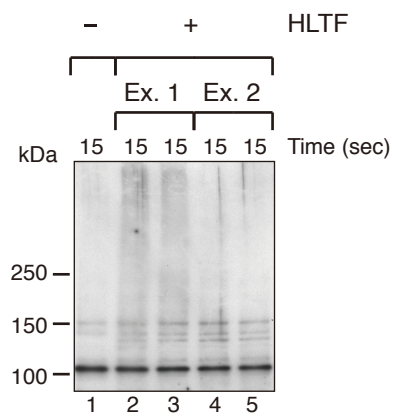


Fig. S3. Masuda et. al.

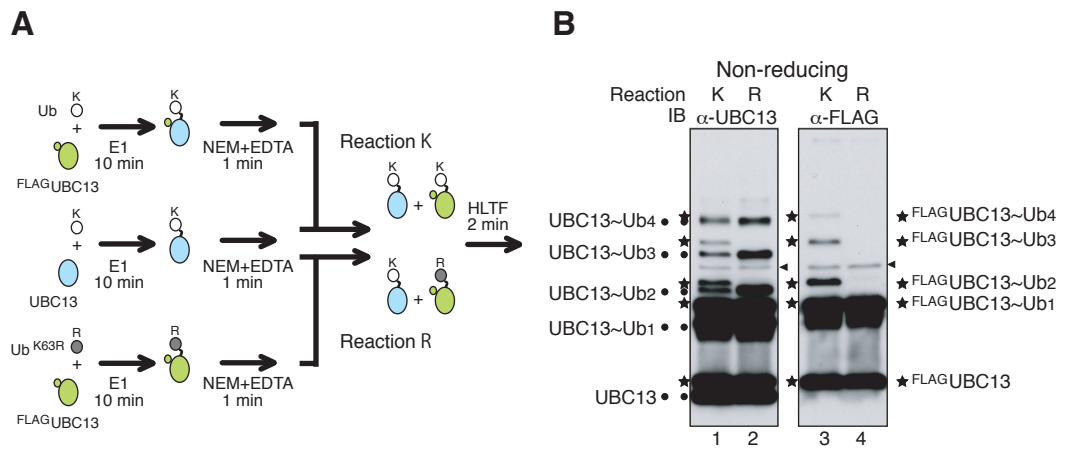


Fig. S4. Masuda et. al.

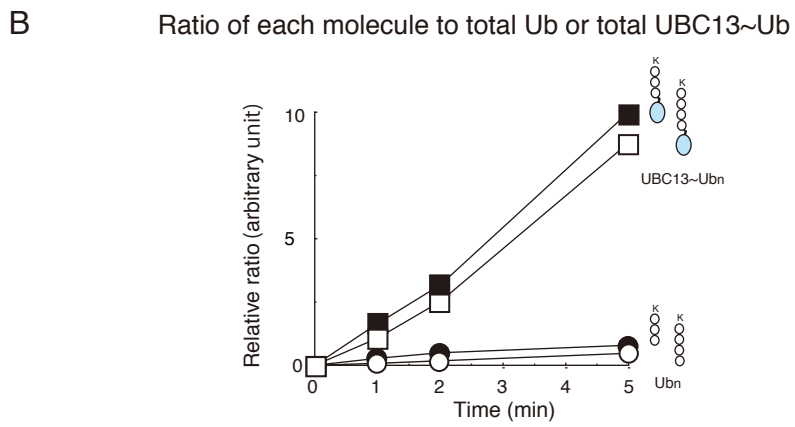
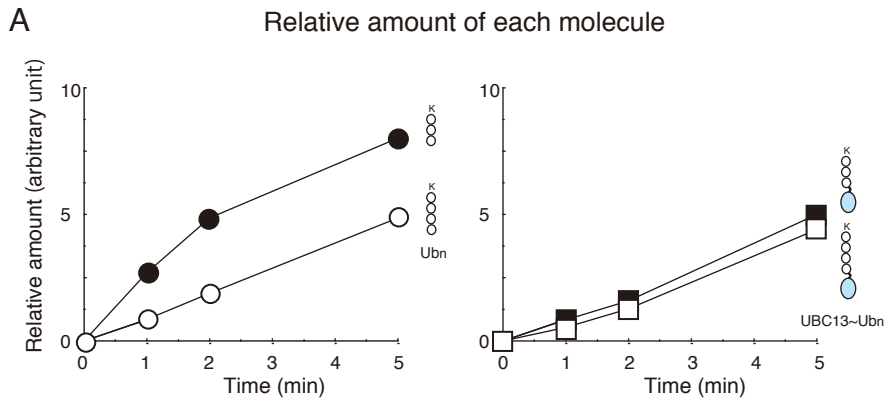


Fig. S5. Masuda et. al.

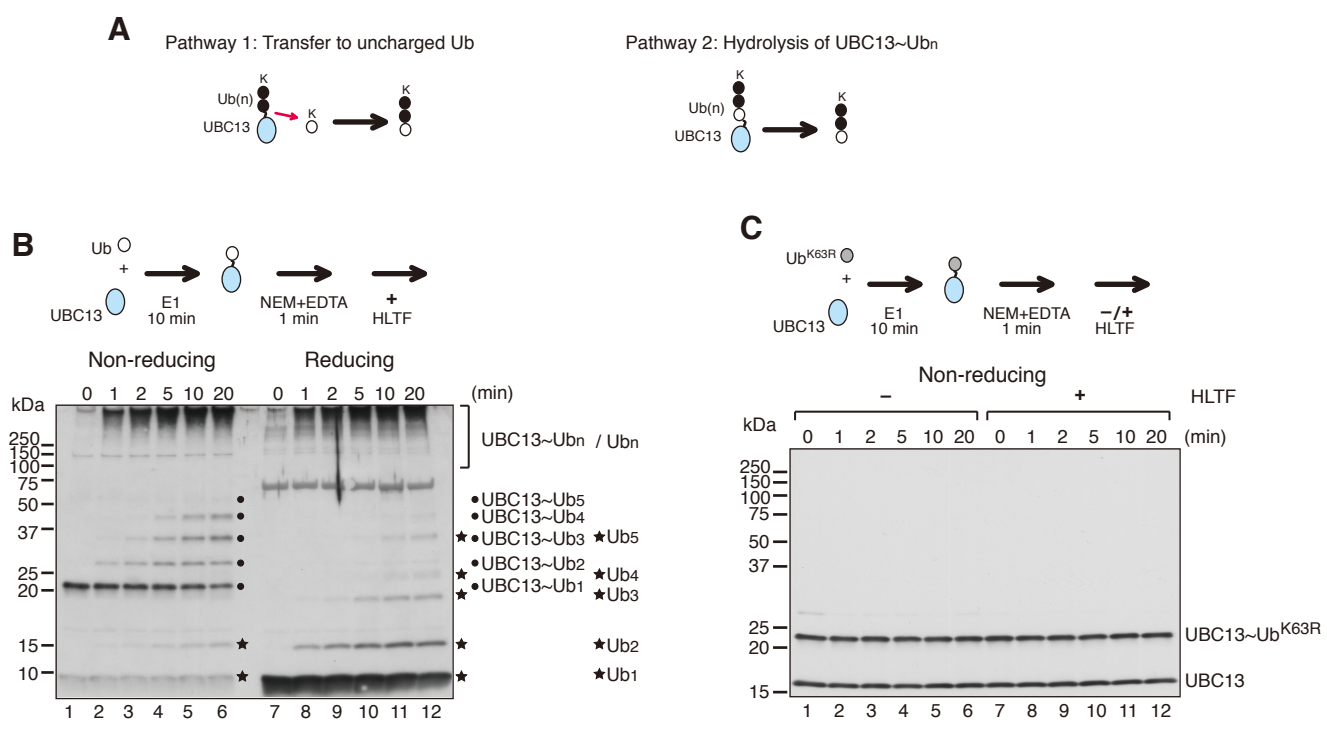


Fig. S6. Masuda et. al.

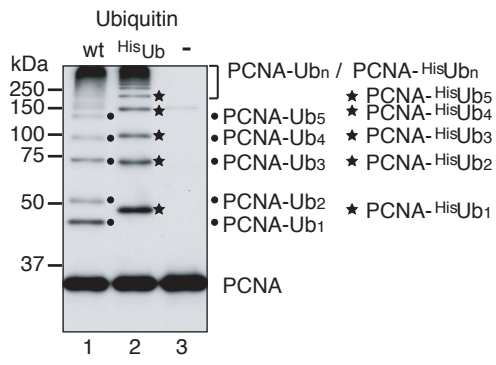


Fig. S7. Masuda et. al.

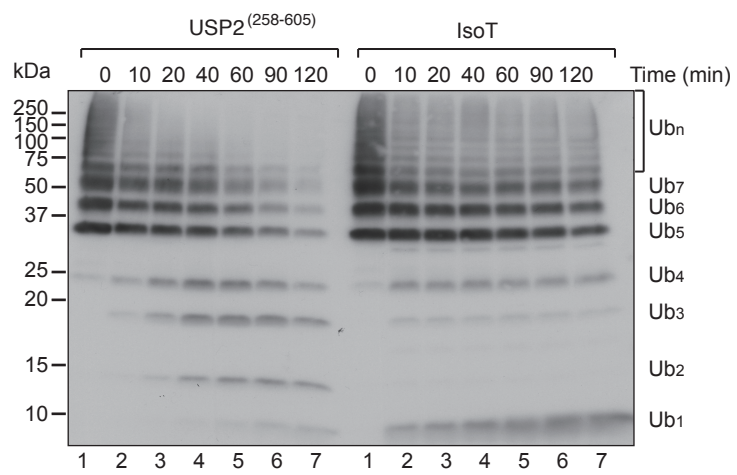


Fig. S8. Masuda et. al.



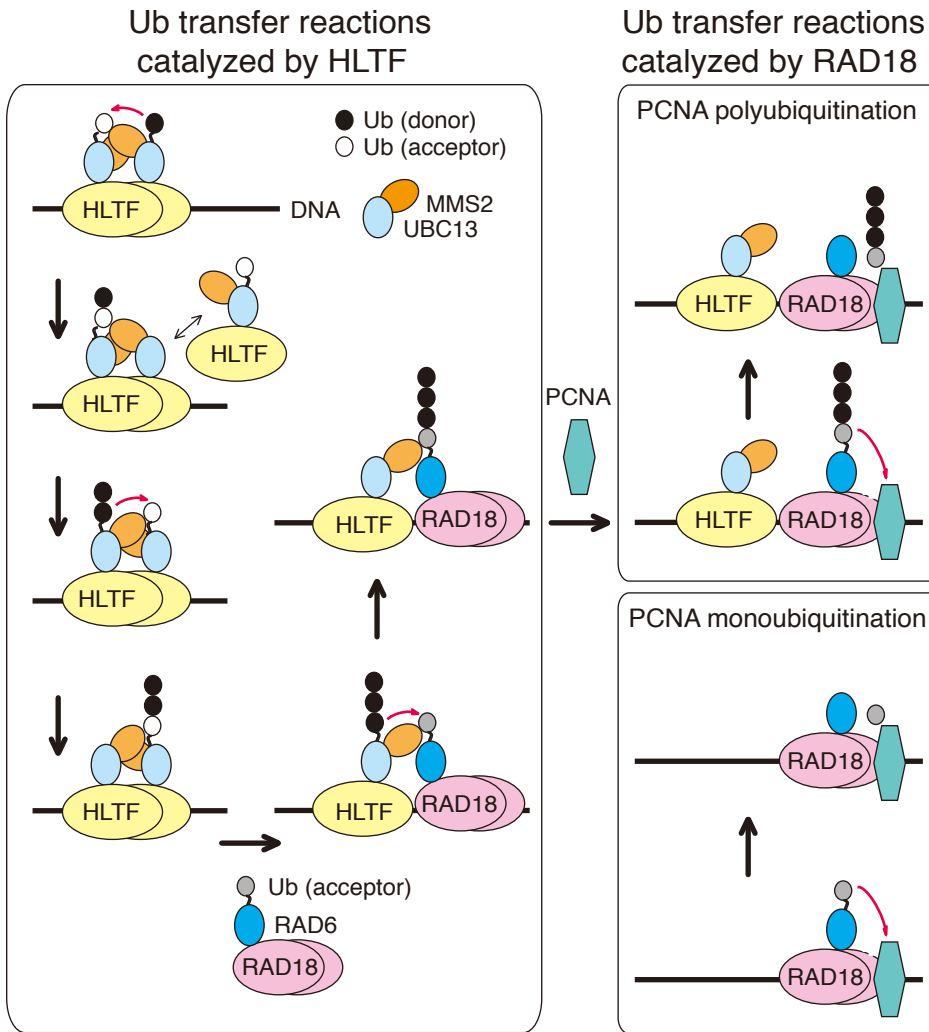


Fig. S9. Masuda et. al.

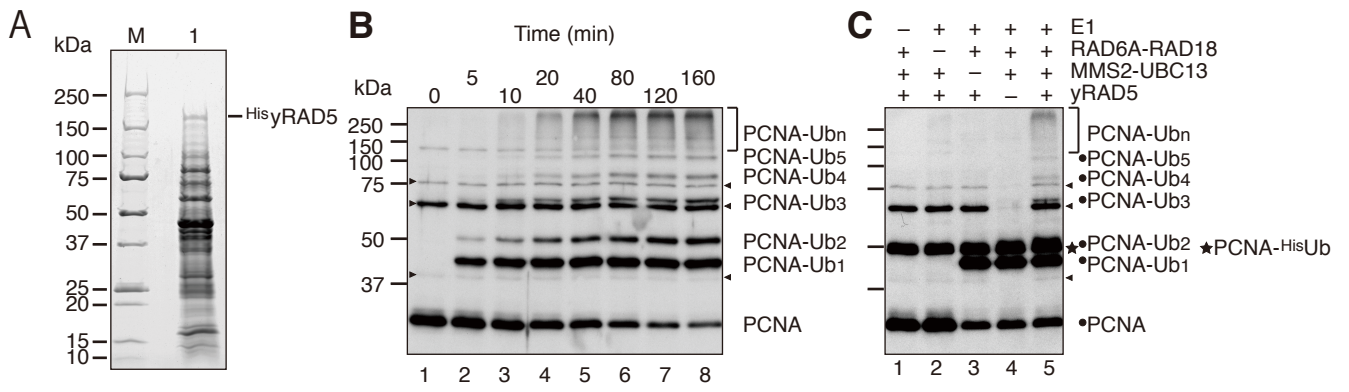


Fig. S10. Masuda et. al.